

## 鉄筋を緊張材として用いた PC部材の伝達長

九州工業大学 学生員 金 成洙  
 九州工業大学 学生員 江崎 純  
 九州工業大学 正員 出光 隆  
 富士ピ-エコンクリート 正員 花田 久

### 1. まえがき

コンクリート標準示方書では、プレストレッシング時のコンクリート強度は $300 \text{ kgf/cm}^2$  を下回ってはならないとしている。しかしながら、ひびわれを許すPCでは緊張材として鉄筋の使用も考えられており、緊張力の小さい部材では、コンクリート強度は必ずしも一律に $300 \text{ kgf/cm}^2$  以上である必要はないものと考えられる。筆者らは上記の疑問点を明らかにするため、比較的低強度の若材令コンクリートについて、その鋼材定着性能を検討した。

### 2. 伝達長測定試験

<試験方法>実験にはIM工法で使用する鋼製型枠を用いた。はり供試体の寸法・ゲージ貼付位置等を図-1に示す。はりの長さは $104 \text{ cm}$ 、断面は正方形であるが、コンクリートに導入されるプレストレス量を4種類変えるため辺長も4種変化させた。鉄筋にはSD30-D13を用い、降伏値の80% ( $2400 \text{ kgf/cm}^2$ ) で緊張した。各シリーズで用いたコンクリートの圧縮強度、弾性係数等を表-1に示す。

<試験結果>鋼材の緊張力を解放していくと、導入されるプレストレスはその分だけ増加していく。図-2は導入時のコンクリートの強度  $f_c = 160 \text{ kgf/cm}^2$ 、 $6 \times 6 \text{ cm}$  の供試体について、導入プレストレス力ごとのコンクリートのひずみ分布を示したものである。伝達長はほとんど変わらずにひずみ分布曲線の勾配が段階的に増加している。

### 3. 定着機構のモデル化と付着応力の計算

鉄筋の緊張力を解放した時、コンクリートへの力の伝達はボアソン効果による摩擦抵抗力 ( $R_{fr}$ ) とふしの機械的抵抗力 ( $R_f$ ) の両方によってなされる。

よって、プレテンション部材端での鉄筋の定着機構は図-3のようにモデル化することができる。 $i-1$ 番目と*i*番目のふしおよびふし間に働く力の釣合は

$$F_i - F_{i-1} = R_i + R_{fr} \quad (1)$$

となる。 $R_i$ 、 $R_{fr}$ はそれぞれ $D_i$ 、 $F_i$ の関数で表すことができる。

$$R_i = D_{i-1} / (a + b \cdot D_{i-1}) \quad (2)$$

$$R_{fr} = c + d \cdot F_i \quad (3)$$

ここに、 $a$ 、 $b$ 、 $c$ および $d$ は常数である。 $a$ 、 $b$ は

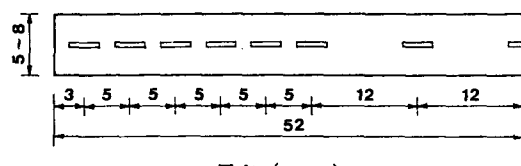


図-1 供試体寸法及びゲージ貼付位置

表-1 供試体種類

SD30 D = 13 mm		鉄筋緊張応力 $2400 \text{ kgf/cm}^2$	
導入時強度 ( $\text{kgf/cm}^2$ )	120	160	断面寸法 ( $\text{cm} \times \text{cm}$ )
導入時 プレ ス 直 後 の ス 量	2.0	2.3	
	8.5	○	5×5
	6.6	○	6×6
	4.5	○	7×7
	4.0	○	8×8

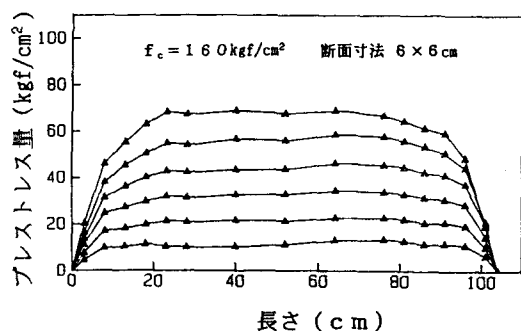


図-2 導入時のコンクリートひずみ分布

後述するふし1個を有する鉄筋の引き抜き試験から、

c、dは厚肉円筒理論を用いて計算からそれぞれ求めることができる。式③を式①に代入して整理すると

$$F_i = (F_{i-1} + R_i + c) / (1 + d) \quad ④$$

となる。i-1番目とi番目のふし変位の差は、その間の鉄筋の伸びに等しいから

$$D_i = D_{i-1} - F_i \cdot L / (A_s \cdot E_s) \quad ⑤$$

となる。(A<sub>s</sub>: 鉄筋の公称断面積、E<sub>s</sub>: 鉄筋の弾性係数) いま、i=1のときF<sub>i-1</sub>はF<sub>0</sub>=0、したがって、D<sub>0</sub>に適当な値を仮定すれば、式②からR<sub>i</sub>を、式④からF<sub>i</sub>を、式⑤からD<sub>i</sub>をそれぞれ得ることができ、i=2、3、…と繰返し計算を行うことにより、任意位置での鉄筋軸力を順次求めることができる。D<sub>0</sub>の値が適切であればF<sub>i</sub>=P(有効プレストレス力)のときD<sub>i</sub>=0となり、これが繰り返し計算の適合条件となる。任意点でのふし1個に作用する抵抗力から求めた付着応力(τ<sub>i</sub>)、ポアソン効果による摩擦抵抗力から求めた付着応力(τ<sub>f</sub>)、コンクリートに導入されたプレストレス(σ<sub>c</sub>)および鉄筋応力(σ<sub>s</sub>)はそれぞれ次式から求まる。

$$\tau_i = R_i / (U \cdot L) \quad \sigma_c = F_i / A_c$$

$$\tau_f = R_{fi} / (U \cdot L) \quad \sigma_s = F_i / A_s$$

(ただしU: 鉄筋の周長)

#### 4. ふし1個を有する鉄筋の付着試験

式②の定数a、bを求めるため、D13を用いてふし1個の鉄筋供試体を作製し、コンクリート強度を変えて付着試験を実施した。荷重～ふし変位の関係を図-4に示す。部材端での鉄筋のすべり込み量は0.1～0.2mm程度であるから、載荷初期の値を用いて回帰曲線を求めた。破壊形式はふしを連ねる円筒面での直接せん断破壊であった。最大荷重から付着強度を求め図中に示す。

#### 5. 計算結果および考察

前記した計算方法で、ふし1個に作用する抵抗力から求めた付着応力(τ<sub>i</sub>)、ポアソン効果による摩擦抵抗力から求めた付着応力(τ<sub>f</sub>)、コンクリートに導入されたプレストレス(σ<sub>c</sub>)等を求めて図-5に示す。σ<sub>c</sub>については実測値も併記した。σ<sub>c</sub>の実測値と計算値はほぼ一致しており、ふし変位の初期値もD<sub>0</sub>=0.135mmと実測値0.14mmに近い値となった。

図-5で、ふしに作用する抵抗力から求めた付着応力(τ<sub>i</sub>)の最大値が35kgf/cm<sup>2</sup>と図-4に示した付着強度の1/3程度であることから、コンクリート強度が160kgf/cm<sup>2</sup>と比較的低い場合でも、鉄筋定着性能は十分であることが明かとなった。

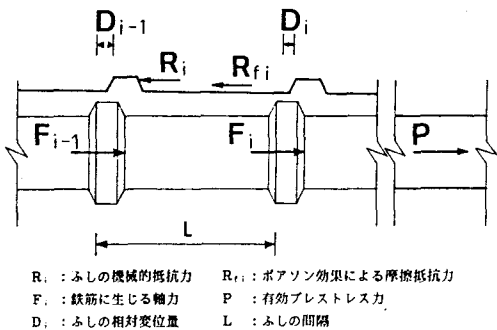


図-3 鉄筋の定着機構モデル

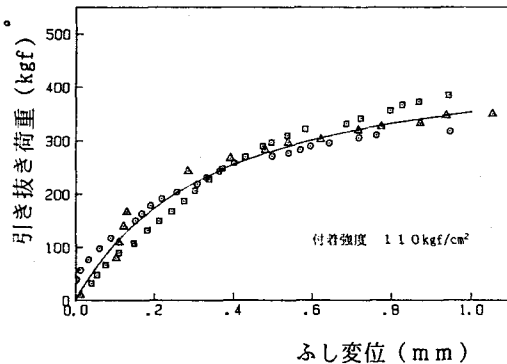


図-4 荷重と鉄筋ふし変位の関係

(f<sub>c</sub> = 160 kgf/cm<sup>2</sup>の場合)

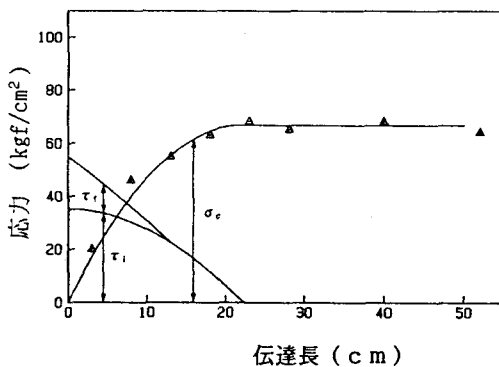


図-5 応力と伝達長の関係